

UNIVERZA V LJUBLJANI
FAKULTETA ZA RAČUNALNIŠTVO IN INFORMATIKO

Iztok Jeras

Pred slike 2D celičnih avtomatov

MAGISTERSKO DELO
NA UNIVERZITETNEM ŠTUDIJU

Ljubljana, 2016

UNIVERZA V LJUBLJANI
FAKULTETA ZA RAČUNALNIŠTVO IN INFORMATIKO

Iztok Jeras

Predslike 2D celičnih avtomatov

MAGISTERSKO DELO
NA UNIVERZITETNEM ŠTUDIJU

Mentor: prof. dr. Branko Šter

Ljubljana, 2016

Zahvala

Na tem mestu se diplomant zahvali vsem, ki so kakorkoli pripomogli k uspešni izvedbi diplomskega dela.

Kazalo

Povzetek	1
Abstract	2
1 Uvod	3
1.1 CA kakor model vesolja	3
1.2 Informacijska dinamika	3
1.3 Problem predslik 2D CA	3
1.4 Algoritmi za iskanje predslik	4
2 Definicija 2D CA	6
3 Konstrukcija mreže predslik	8
3.1 De Bruijnov diagram	8
3.2 Mreža	11
3.3 Robni pogoji	12
4 Algoritem za štetje in izpis predslik	14
4.1 Procesiranje v eni dimenziji	14
4.2 Procesiranje v drugi dimenziji	16
4.3 Izpis predslik	16
4.4 Nezmožnost procesiranja z linearno zahtevnostjo	16

5	Primerjava z znanimi algoritmi	18
5.1	Iskanje GoE	18
5.2	Iskanje predslik	18
5.3	Polni algoritmi	19
5.3.1	Sklepne ugotovitve	19
	Seznam slik	20
	Seznam tabel	21
	Literatura	22

Seznam uporabljenih kratic in simbolov

1D	eno dimenzionalen
2D	dvo dimenzionalen
3D	tri dimenzionalen
CA	celični avtomat
GoL	Conway's Game of Life (Conwayeva igra življenja)
GoE	Garden of Eden (stanje brez predslik)
trid	okolica CA sestavljena iz treh celic
quad	okolica CA sestavljena iz štirih celic $M_x = M_y = 2$
C	poljubna konstanta
S	množica nabora stanj celice
$ S $	število možnih stanj celice
c	stanje posamezne celice (celoštevilska vrednost)
$c_{x,y}$	vrednost celice na položaju $[x, y]$ znotraj 2D polja celic
c^t	vrednost celice v sedanjosti
c^{t+1}	vrednost celice v prihodnosti (eden korak)
N_x	velikost 2D polja celic v dimenziji X
N_y	velikost 2D polja celic v dimenziji Y
N	število celic v 2D polju
M_x	velikost 2D okolice celice v dimenziji X
M_y	velikost 2D okolice celice v dimenziji Y
m	število celic v 2D okolici
n	stanje okolice posamezne celice (celoštevilska vrednost)
$n_{x,y}$	vrednost okolice celice na položaju $[x, y]$ znotraj 2D polja celic

n^{t-1}	vrednost celice v preteklosti (eden korak)
n^t	vrednost okolice celice v sedanjosti
f	tranzicijska funkcija
f^{-1}	obratna tranzicijska funkcija
o_x	prekrivanje okolice v dimenziji X
o_y	prekrivanje okolice v dimenziji Y
o_{xy}	prekrivanje okolice v diagonalni smeri

Povzetek

Medtem, ko je računanje predslik 1D celičnih avtomatov dobro raziskan in podrobno dokumentiran problem, je to področje pri 2D celičnih avtomatih manj raziskano. To magistrsko delo poizkuša aplicirati metode razvite za 1D avtomate na 2D problem. Pri-
kazan je algoritem, ki omogoča štetje in izpis predslik. Razvit je bil s pomočjo grafičnega modela, mreže predslik, ki omogoča uporabo teorije grafov pri izračunih in dokazih.

Ključne besede:

celični avtomati, pred slike, procesna zahtevnost, reverzibilnost, rajski vrt, Conwayeva igra življenja, trid, quad

Abstract

While computing preimages of 1D cellular automata is a well researched and documented problem, for 2D cellular automata there is less research available. This masters thesis attempts to apply methods developed for 1D automata to the 2D problem. An algorithm is shown, which can count and list preimages. It was developed with the help of a graphical representation, which enables using graph theory for computation and proofs.

Key words:

cellular automata, preimages, ataviser, computational complexity, reversibility, Garden of Eden, Conway's Game of Life, trid, quad

Poglavje 1

Uvod

1.1 CA kakor model vesolja

Ker lahko vsak univerzalen sistem modelira vsak drugi univerzalen sistem, lahko predpostavimo, da lahko z univerzalnimi CA modeliramo vesolje. Samo modeliranje vesolja je še izven našega dosega, poizkuša pa se vsaj približati teorijo CA in teoretično fiziko. S strani informacijske teorije in termodinamike je predvsem zanimiv model gravitacije kakor entropijske sile (Entropic gravity [20]), ki predpostavlja, da je 3D vesolje projekcija procesov, ki se odvijajo na 2D ploskvi. Z druge strani pa CA omogočajo opazovanje abstraktnega kopiranja informacij (replikacija) in evolucije [19].

1.2 Informacijska dinamika

Informacijsko dinamiko CA se najpogosteje opisuje samo kakor reverzibilno ali ireverzibilno, obstaja tudi nekaj člankov, ki opazujejo entropijo sistema. Pogosto je tudi opazovanje dinamike delcev pri GoL in elementarnem pravilu 110. Ne obstaja pa še splošna teorija dinamike informacij v CA. V svojem članku [15] in prispevkih na konferencah [10, 14], sem grafično upodobil predslike trenutnega stanja za 1D problem. Iz upodobitve je videti, da se ponekod izgubi več informacije kakor drugod, kar kaže na možnost izpeljave kvalitativne in kvantitativne teorije dinamike informacij; žal se ta možnost še ni udejanila. Podobno je možno grafično upodobiti predslike 2D CA, ter iz grafov sklepati o izgubi informacij v 2D CA.

1.3 Problem predslik 2D CA

Najbolje teoretično raziskan 2D CA je GoL (Game of Life ali slovensko igra življenja). Ogromno truda je bilo vloženga v raziskovanje delcev in njihove dinamike. S pomočjo osnovnih gradnikov, je mogoče skonstruirati kompleksnejše sisteme, med katerimi so najzanimivejši turingov stroj [18] in univerzalni konstruktor [6].

Delci so dejansko atraktorji v razvoju CA na končni periodični mreži (thorus). Pri 1D CA se algoritmi za iskanje predslik uporabljajo za določitev atraktorjevega korita [21]. V ireverzibilnem celičnem avtomatu se pojavljajo stanja brez predslik imenovana GoE (Garden of Eden ali rajski vrt). Pomensko so GoE nasprotje delcev, saj se nahajajo kar najdlje od atraktorja na robu korita. GoE stanja prav tako kakor delci privlačijo raziskovalce, čeprav v manjši meri kakor delci.

Največ raziskav s področja predslik GoL je bilo opravljenih ravno s ciljem iskanja GoE stanj. S stališča algoritma za štetje predslik je GoE stanje tako, ki nima nobene predslike. Algoritem za štetje predslik je možno pretvoriti v algoritem za preverjanje ali je stanje GoE, tako da se operacije nad celimi števili pretvori v logične operacije nad Boolovimi stanji.

1.4 Algoritmi za iskanje predslik

Raziskave algoritmov sem se lotil s predpostavko, da je možno opraviti štetje s zahtevnostjo, ki je linearno odvisna od velikosti problema $O(N)$ (N je število opazovanih celic). Čeprav je to možno pri 1D problemu, se izkaže, da 2D problem ni tako preprost. Predstavljeni so primeri iz katerih je razvidno, da algoritem z linearno zahtevnostjo ne more pravilno opisati vseh situacij. Zahtevnost opisanega algoritma sicer raste eksponentno z velikostjo ene od dimenzij CA polja $O(C^N)$, je pa možno, da obstaja algoritem z nižjo kompleksnostjo.

Pomembno vlogo pri razvoju opisanega algoritma ima mreža predslik. To je grafična upodobitev problema, katere cilj je lažje razumevanje problema in rešitev. Osnova za oblikovanje mreže predslik so De Bruijn-ovi diagrami. Paulina Léon in Genaro Martínez [17] poizkušata aplicirati De Bruijn-ove diagrame na 2D CA, doslej je bilo to orodje uporabljeno le na 1D problemih. Točneje, opazujeta dva CA: 'Game of Life' in 'Diffusion rule', s poudarkom na opazovanju stabilnih delcev. Sam uporabljam De Bruijn-ovi diagrame nekoliko drugače, in jih tudi drugače grafično upodabljam. Posamezen De Bruijn-ov diagram postane mreža predslik ene celice. Mreže posameznih celic se nato povezujejo, tako da na koncu opisujejo celotno polje celic.

Doslej sem že razvil napredne algoritme za izračun predslik 1D CA [15]. Skozi zgodovino so taki algoritmi napredovali, tako da je padala njihova procesna zahtevnost in opisna/implementacijska zahtevnost.

1. 'brute force' algoritmi $O(C^N)$
2. improvizirani algoritmi
3. zasnove matematičnega modela
4. optimalni algoritmi $O(N)$

Iskanje predslik 2D CA je trenutno nekje med improvizacijo in matematičnim modelom.

Opisan algoritem na koncu primerjam z ostalimi doslej znanimi algoritmi. Čeprav s stališča procesne zahtevnosti ne prinaša zelenega napredka, pa to, da temelji na pregledni

grafični upodobitvi daje upanje, da bojo razne optimizacije razvidne bodočim raziskovalcem.

Algoritem je implementiran kot računalniški program v jeziku C [11]. Knjižnica GMP je uporabljena za zapis celih števil večjih od 64 bitov. Poleg samega algoritma za štetje in izpis predslik sem pripravil tudi orodje za simulacijo binarnega CA z okolico quad [13] in orodje za prikaz poljubne mreže predslik [12]. Obe orodji se lahko zažene kar v internetnem brskalniku.

V slikah je uporabljena izometrična projekcija, saj je za potrebe analize je osnovnemu 2D polju dodana tretja dimenzija, ki opisuje prostor predslik (mreža predslik).

Poglavje 2

Definicija 2D CA

Predstavljena definicija 2D CA je enostavna in manj formalna v primerjavi z definicijo 1D CA v podobnih prispevkih. Bolj formalna definicija ni potrebna, saj se opisani problemi za 2D CA, še ne povezujejo z drugimi vejami matematike toliko kakor 1D CA.

Osnovni element 2D CA je celica kakor del polja celic. Vsaka celica ima diskretno vrednost c iz nabora stanj celice S . Stanja so običajno kar oštevilčena.

$$c \in S \quad \text{in} \quad S = \{0, 1, 2, |S| - 1\} \quad (2.1)$$

Mreža polja je lahko pravokotna, šestkotna ali celo kvazikristalna, tukaj se bomo omejili na pravokotno mrežo. Na splošno je velikost polja lahko neskončna, bolj običajna pa so končna polja definira kakor pravokotnik velikosti $N_x \times N_y$ in skupno število celic v končnem polju je $N = |N_x \times N_y|$.

Prihodnje stanje neke celice $c_{x,y}$ (na položaju (x, y)) je odvisno od trenutnega stanja pripadajoče okolice $n_{x,y}$ (slika 2.1). Podobno se bom tudi pri obliki okolice omejil na pravokotnik velikosti $M_x \times M_y$. Število celic v okolici je $m = |M_x \times M_y|$. Na voljo je $|S|^m$ možnih okolic.

$$n \in S^m \quad \text{in} \quad S^m = \{0, 1, 2, |S|^m - 1\} \quad (2.2)$$

Prostorski odnos med okolico in celico v prihodnjem stanju avtomata, ki jo ta okolica določa, ni podrobno definiran. Običajno se smatra, da je celica v sredini okolice, ampak za opisani algoritem to ni nujno pomembno.

Preslikava sedanje okolice $n_{x,y}^t$ v prihodnjo istoležno celico $c_{x,y}^{t+1}$ je definiran s tranzicijsko funkcijo f , ki vsaki vrednosti okolice pripiše vrednost celice.

$$c_{x,y}^{t+1} = f(n_{x,y}^t) \quad (2.3)$$



Slika 2.1: Celica $c_{x,y}$ in pripadajoča okolica $n_{x,y}$ z dimenzijama $M_x = M_y = 3$.

Za potrebe iskanja predslik je zanimiva obratna funkcija f^{-1} , ki ob podanem stanju trenutne celice $c_{x,y}^t$ vrne množico okolic, ki se preslikajo v to vrednost.

$$f^{-1}(c^t) = \{n^{t-1} \in S^m \mid f(n^{t-1}) = c^t\} \quad (2.4)$$

Dodaten pogoj za predslike polja celic je, da se morajo okolice sosednjih celic ujemati povsod, kjer se prekrivajo.

Tranzicijsko funkcijo je možno definirati s pravilom. Pravilo r je celo število v S -iškem številskem sestavu, kjer so cifre zaporedje vrednosti celic za vsako od $|S|^m$ možnih okolic. Vseh pravil je na voljo $|S|^{|S|^m}$.

$$r = \sum_{n=0}^{|S|^m} |S|^n \cdot f(n) \quad (2.5)$$

$$r \in \{0, 1, \dots, |S|^{|S|^m} - 1\} \quad (2.6)$$

Podana konstrukcija mreže predslik in algoritem za izračun predslik omogočata uporabo bolj splošne definicije, kjer je za vsako celico definiran lasten nabor predslik $n^{t-1} \in S^m$, ki je neodvisen od stanja celice. Ta posplošitev je uporabljena za konstrukcijo umetnih mrež predslik, ki poudarjajo konkretne probleme, ki definirajo kompleksnost algoritma.

Za dano polje celic velikosti $N_x \times N_y$ in z odprtimi robovi, je možno izračunati prihodnje stanje polja velikosti $(N_x - (M_x - 1)) \times (N_y - (M_y - 1))$. V primeru, če so robovi polja ciklično zaprti (polje v obliki thorusa), je pa polje prihodnjega stanja enako veliko kakor polje sedanjega. Podobno velja za računanje predslik, za sedanje polje velikosti $N_x \times N_y$ je za odprte robove velikost polja predslik $(N_x + (M_x - 1)) \times (N_y + (M_y - 1))$. Za ciklične robove pa sta velikosti enaki.

Poglavje 3

Konstrukcija mreže predslik

Mreža predslik je grafični konstrukt, ki omogoča upodobitev posameznih pojmov iz definicije CA, kakor ločene grafične elemente. Odnosi med temi elementi definirajo pravila na katerih se gradijo algoritmi za iskanje predslik.

3.1 De Bruijnov diagram

Osnovani element grafične upodobitve je De Bruijnov diagram. V osnovi ta obravnava ciklične premike končnih zaporedij simbolov, ter njihovo prekrivanje. Vozlišča v diagramu so vsa možna končna zaporedja, povezave med njimi pa definirajo kako se ta zaporedja prekrivajo med seboj.

Pri 1D CA se problem neposredno preslika na De Bruijnov graf. McIntosh in njegova skupina uporabljajo za analizo te De Bruijinove grafe neposredno. Sam sem pa razvil modificiran graf, kjer so vozlišča podvojena, in gredo poti vedno od originala proti dvojniku. To omogoča veriženje grafov, in razširitev osnovnega De Bruijinovega grafa, ki opisuje okolico ene celice, v verižen graf, ki opisuje verigo celic.

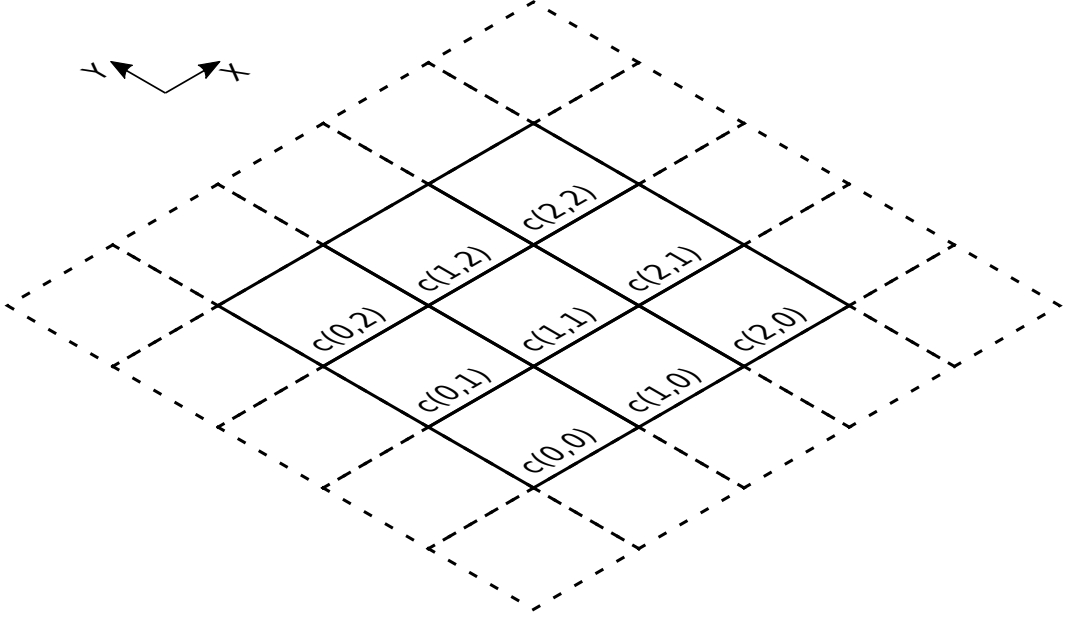
Za potrebe opisa 2D celičnih avtomatov, je bila elementom De Bruijinovega grafa dodana nova dimenzija. Povezave med vozliči se spremenijo v ploskve, in vozlišča se spremenijo v robove ploskev. Elementi celičnega avtomata, ki se preslikajo v graf so:

- nabor vseh možnih okolic celice postane nabor vseh ploskev (slika 3.8)
- nabor prekrivanj okolic v smeri 2D dimenzij (slika 3.4) postane nabor povezav
- nabor prekrivanj okolic v diagonalni smeri (slika 3.6) postane nabor vozlišč

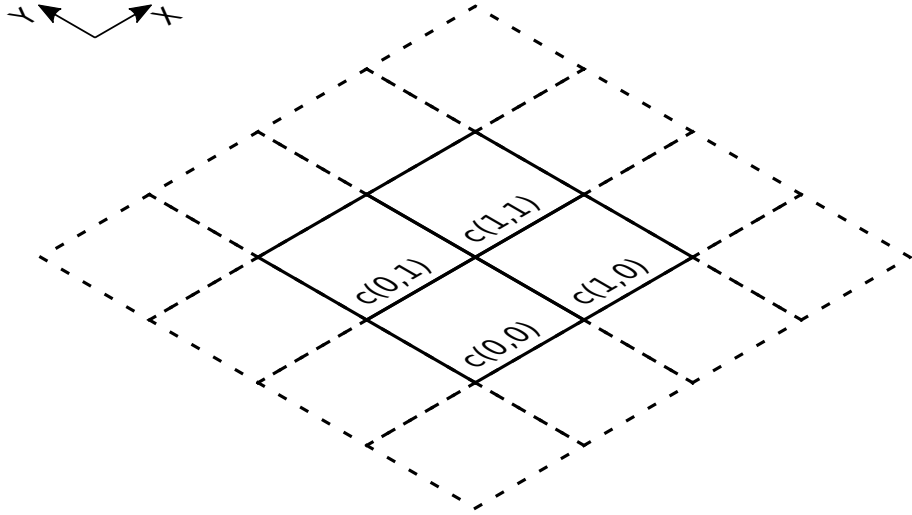
Elemente celičnega avtomata, kakor okolice in prekrivanja okolic je potrebno indeksirati, tako da se lahko vsakemu elementu pripiše unikatna števna vrednost. Vsaki okolici je pripisana zaporedna vrednost, ki je konstruirana kakor m mestno število v S -iškem številskem sistemu (za podane primere dvojiški). Cifre si sledijo od spodaj levo do zgoraj desno znotraj okolice (sliki 3.1 in 3.2).

$$n = \sum_{x,y} |S|^{yN_x+x} \cdot c_{x,y} \quad (3.1)$$

$$n \in \{0, 1, \dots, |S|^{N_x N_y} - 1\} \quad (3.2)$$



Slika 3.1: Indeksiranje okolice celice z dimenzijama $M_x = M_y = 3$.



Slika 3.2: Indeksiranje okolice celice z dimenzijama $M_x = M_y = 2$.

Celice se v smeri dimenzije X prekrivajo za ploskev velikosti $(M_x - 1) \times M_y$ (sliki 3.3 in 3.4). To ob indeksiranju da nabor:

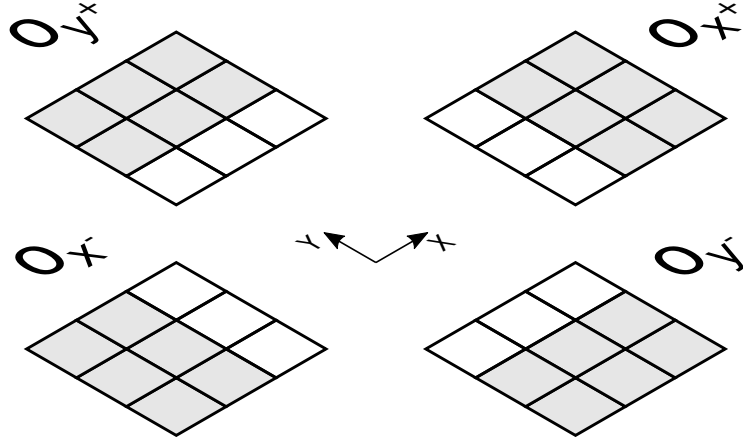
$$o_x = \sum_{x,y} |S|^{y(M_x-1)+x} \cdot c_{x,y} \quad (3.3)$$

$$o_x \in \{0, 1, \dots, |S|^{(M_x-1)N_y} - 1\} \quad (3.4)$$

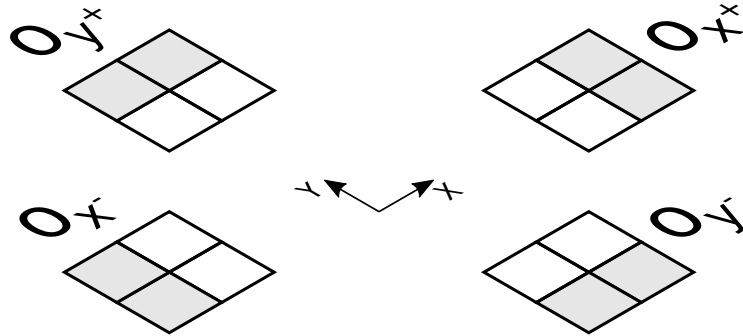
Celice se v smeri dimenzije Y prekrivajo za ploskev velikosti $M_x \times (M_y - 1)$ (sliki 3.3 in 3.4). To ob indeksiranju da nabor:

$$o_y = \sum_{x,y} |S|^{yM_x+x} \cdot c_{x,y} \quad (3.5)$$

$$o_y \in \{0, 1, \dots, |S|^{M_x(N_y-1)} - 1\} \quad (3.6)$$



Slika 3.3: Prekrivanje okolice sosednjih celic v smeri dimenzij X in Y, za velikost okolice $M_x = M_y = 3$. Okolice se prekrivajo v 6 celicah od 9.



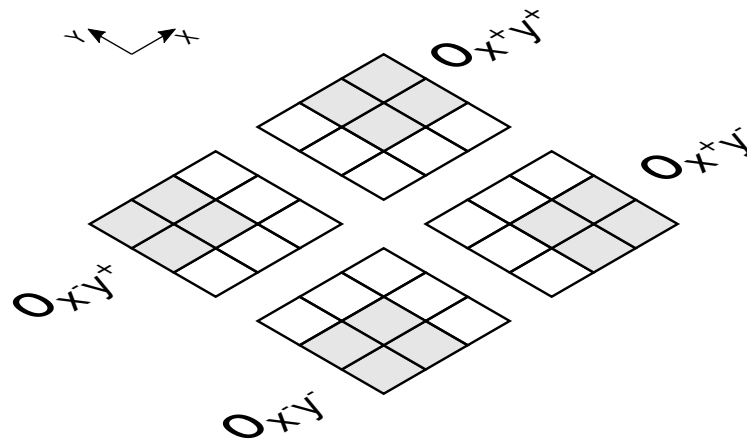
Slika 3.4: Prekrivanje okolice sosednjih celic v smeri dimenzij X in Y, za velikost okolice $M_x = M_y = 2$. Okolice se prekrivajo v 2 celicah od 4.

Celice se v diagonalni smeri prekrivajo za ploskev velikosti $(M_x - 1) \times (M_y - 1)$ (sliki 3.5 in 3.6). To ob indeksiranju da nabor:

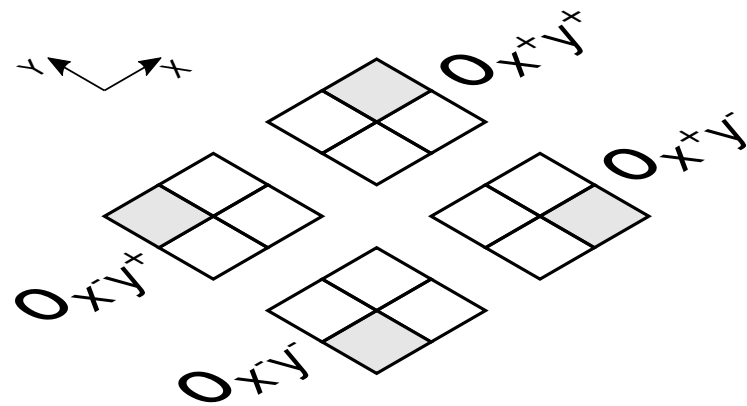
$$o_{xy} = \sum_{x,y} |S|^{y(M_x-1)+x} \cdot c_{x,y} \quad (3.7)$$

$$o_{xy} \in \{0, 1, \dots, |S|^{(M_x-1)(N_y-1)} - 1\} \quad (3.8)$$

Nastali graf (slika 3.7) ima poleg vozlišč in povezav med njimi tudi ploskve. Ploskve bi v teoriji grafov opisali kakor zanke v grafu, z dodano omejitvijo, da mora vsako vozlišče ali povezava v zanki pripadati drugemu prekrivanju okolice.



Slika 3.5: Prekrivanje okolic sosednjih celic v diagonalni smeri, za velikost okolice $M_x = M_y = 3$. Okolice se prekrivajo v 4 celicah od 9.



Slika 3.6: Prekrivanje okolic sosednjih celic v diagonalni smeri, za velikost okolice $M_x = M_y = 2$. Okolice se prekrivajo v eni celici od 9.

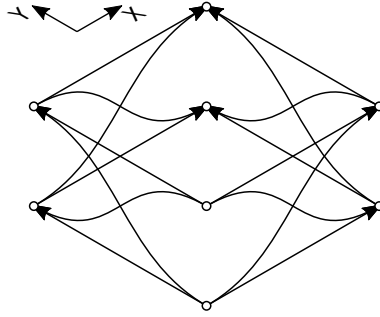
3.2 Mreža

Diagrami, ki opisujejo preteklost posamezne celice, je možno sestaviti v mrežo, ki opisuje polje več celic. Nabor predslik celotnega polja je ekvivalenten naboru vseh *zveznih* ploskev, ki prekrivajo celotno polje in, ki jih je možno sestaviti iz naborov ploskev diagramov posameznih celic.

Preslikava iz zvezne ploskve v mreži predslik v konfiguracijo polja celic predslike je enolična. Najlažje je razumeti preslikavo za okolico velikosti 3×3 , od vsakega odseka ploskve za posamezno celico se vzame centralno celico, na koncu pa se doda še za eno celico širok rob okoli celotne ploskve.

Podani primeri uporabljajo binarni CA s quad okolico. Za ta CA je velikost diagonalnega prekrivanja okolic ena sama celica (slika 3.6), posledično ima nabor vozlišč le dve vrednosti, ki neposredno predstavljajo vrednosti celic v predsliki (slika 3.9). Nabor okolic/ploskev pa obsega 16 kombinacij (slika 3.8).

Razširitev diagrama ene celice v mrežo lahko dokažemo z indukcijo. Dokazati želimo,



Slika 3.7: Mreža ene celice za binarni CA z okolico quad $M_x = M_y = 2$.

da je neka konfiguracija celic predslika dane sedanjosti *če in samo če* je ta ekvivalentna zvezni ploskvi v mreži predslik.

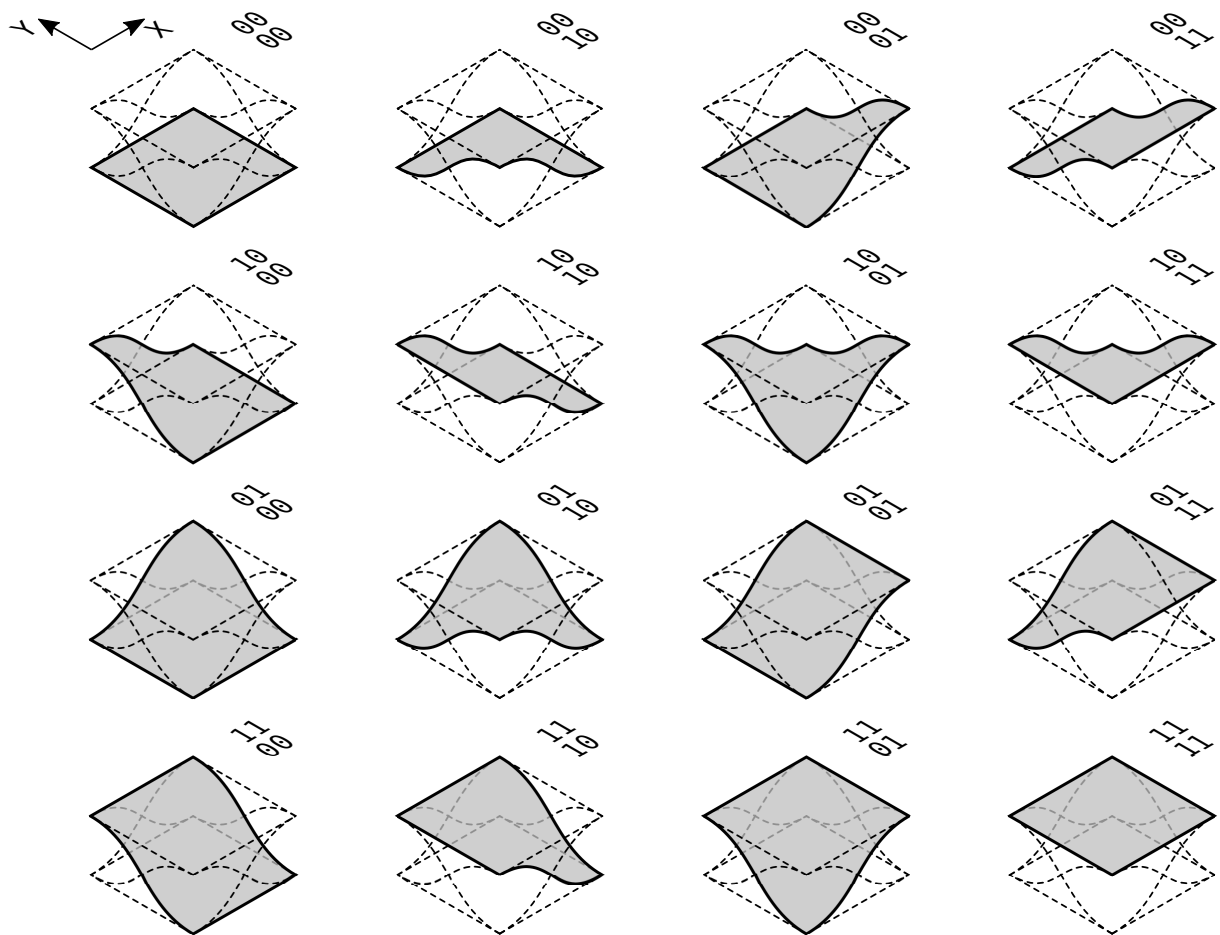
Prvi element: Iz definicije velja, da je za eno samo celico v mreži nabor ploskev enak naboru vseh predslik. **Naslednji element:** Obstoječi mreži predslik novo celico. Ploskev iz nabora dodane celice se zvezno veže s ploskvijo iz obstoječega nabora zveznih ploskev natanko v primeru, ko se z njo ujema v robu (povezavi med vozliščema). Temu je tako, ker so indeksi vozlišč in povezav ekvivalentni vrednosti prekrivanj okolic.

3.3 Robni pogoji

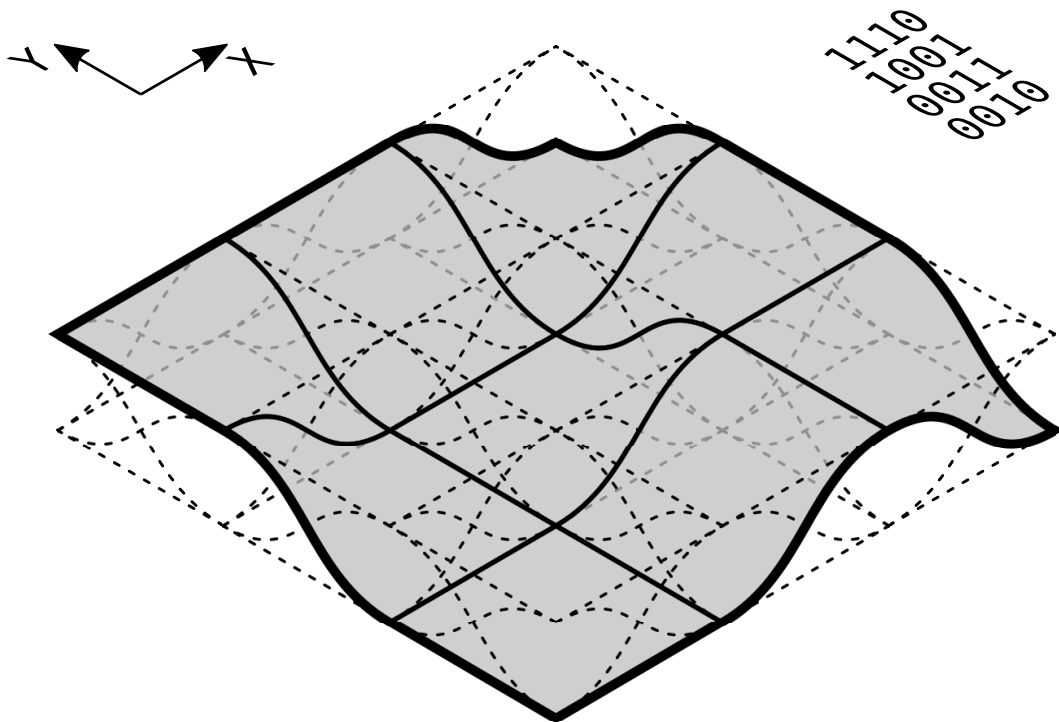
Pri 1D CA so robni pogoji definirani na dveh koncih, ki omejujejo končno število celic na neskončni premici. Če je 1D CA definiran kakor poltrak je robni pogoj samo eden. Robni pogoj definira katere okolice (vozlišča pri mreži predslik za 1D CA) in s kakšnimi utežmi so na voljo ob robu. Lahko si jih predstavljamo tudi kakor vpliv, neskončnega poltraka celic, ki sega izven roba opazovane konfiguracije.

Pri 2D CA je robni pogoj definiran na sklenjeni poti okoli ploskve opazovane konfiguracije celic. V mreži predslik za 2D CA povezave med vozlišči definirajo rob ploskve (slika 3.9). Na splošno ima vsaka ploskev v mreži svoj rob, robni pogoj določa kako je ta ploskev obravnavana. Ker uporabna vrednost splošnega robnega pogoja še ni znana, in bi splošnost izrazito povečala zahtevnost algoritma za iskanje predslik, so tukaj vsi robovi obravnavani enako. Temu bomo rekli odprt rob, ker ta ne definira nobenih omejitev, katere zvezne ploskve v mreži predslik so dovoljene in katere ne.

Obstaja še eden enostaven robni pogoj, ki je definiran za ciklično sklenjena končna CA polja. Ta tip robnega pogoja tukaj ne bo obravnavan, ker še dodatno poveča kompleksnost algoritmov.



Slika 3.8: Nabor ploskev za vse možne okolice za binarni CA z okolico quad $M_x = M_y = 2$.



Slika 3.9: Mreža velikosti $N_x = 3$ in $N_y = 3$ za binarni CA z okolico quad. Poudarjena je ena zvezna ploskev in njen rob (konfiguracija pripadajoče predslike je izpisana).

Poglavje 4

Algoritem za štetje in izpis predslik

Pri 1D CA ima algoritem za štetje predslik linearno $O(N)$ procesno in pomnilniško zahtevnost. Posplošeno to pomeni, da se vsaka celica pojavi v izračunu samo enkrat. Dejansko ima vsak algoritem tudi logaritmico komponento, saj število bitov potrebnih za zapis števec raste logaritmico s številom celic. Algoritem za izpis predslik ima tudi eksponentno maksimalno kompleksnost, saj maksimalno in povprečno število predslik raste eksponentno v odvisnosti od števila celic.

Za 2D CA se je izkazalo, da obstajajo problemi, ki niso rešljivi z linearno kompleksnostjo. Prikazani algoritem ima maksimalno eksponentno kompleksnost v odvisnosti od posamezne dimenzije $O(S^{N_x} S^{N_y})$. Za sedaj je še odprta možnost za obstoj algoritma s kompleksnostjo med linearno in eksponentno.

Opisani algoritem za štetje predslik razdeli polje celic na vrstice v dimenziji X. Delitev po stolpcih v dimenziji Y bi bila ekvivalentna, tako da je to arbitrarna. S stališča procesne zahtevnosti je najbolje izbrati krajšo dimenzijo. Na podlagi zunanjega robnega pogoja je najprej poiskan nabor predslik za prvo vrstico. Nabor predslik je izračunan kakor uteži za robove na nasprotni strani od začetne. Te uteži so uporabljene kakor vhodni robni pogoj za naslednjo vrstico. Robne uteži izračunane za zadnjo vrstico predstavljajo število vseh predslik.

Algoritem za izpis predslik je nadaljeval algoritem za štetje. Starta z znanim številom predslik, ki ga je dalo štetje, in izpisuje predslike po vrsticah v obratni smeri, kakor je potekalo štetje.

4.1 Procesiranje v eni dimenziji

Procesiranje se začne z eno dimenzionalnim nizom celic (vrstico). Vsaki celici v nizu pripada lastna mreža predslik, eno dimenzionalnemu nizu celic posledično pripada povezan niz mrež predslik (slika 4.1 mreža 1). Vsak segment mreže v nizu ima svoj nabor veljavnih okolic, ki je definiran s tranzicijsko funkcijo (ali pa je posplošeno poljuben nabor). Na začetku se ploskve okolic sosednjih celic še ne povezujejo v zvezno ploskev čez celoten niz.

Izločiti je potrebno vse ploskve okolic, ki se ne povezujejo z okolicami svojih sosednjih celic.

Ker se vsaka vrstica povezuje s predhodno in naslednjo vrstico, je potrebno upoštevati tudi zveznost ploskev na prehodu med vrsticami. Ta povezava med vrsticami je prerez opazovane ploskve na meji med vrsticama. Vsaka ploskev je obravnavana posebej in prerez je izražen kakor robni pogoj. Začetni robni pogoj za vsako vrstico je nabor poti med vozlišči na začetku vrstice. Vsaka pot je obravnavana posebej (slika 4.1 mreža **2**, odebeljena pot).

Začetni robni pogoj se aplicira tako, da se izloči iz obravnave vse ploskve, ki nimajo skupnega roba z robno potjo (slika 4.1 prehod iz mreže **1** v mrežo **2**). Za tem korakom, so vse ploskve definirane v dveh od štirih vozlišč, do nezveznosti lahko prihaja le še na robu nasprotnem začetnemu robu.

Problem se reducira iz tri dimenzionalne mreže in procesiranja ploskev v dvo dimenzionalno mrežo, kjer se procesirajo poti med vozlišči (slika 4.1 prehod iz mreže **2** v mrežo **3**). To je problem, ekvivalenten iskanju predslik (zvenih poti v grafu) za 1D CA, za kar se uporabi algoritem opisan v [15]. Rezultat so poti na prerezu med ploskvami (slika 4.1 mreža **4**, končni robni pogoj je odebeljen).



Slika 4.1: Mreža vrstice velikosti $N_x = 3$ za binarni CA z okolico quad. Nabor okolic/ploskev za posamezno celico je arbitraren, izbran tako, da poudari korake algoritma.

Po procesiranju nabora vseh začetnih robnih pogojev, nastane nabor vseh končnih robnih pogojev. Ta nabor se v naslednjem koraku uporabi kakor začetni robni pogoj za naslednjo vrstico.

Nabor vseh možnih poti na meji vrstice raste eksponentno z dolžino vrstice. Število vseh poti se izračuna iz števila vejitev na vsakem vozlišču in dolžine poti. Za deljenje po vrsticah v dimenziji X je ta nabor $|S|^{(M_y-1)N_x+1}$. Posledično kompleksnost algoritma raste eksponentno z dolžino vrstice $O(C^{N_x})$.

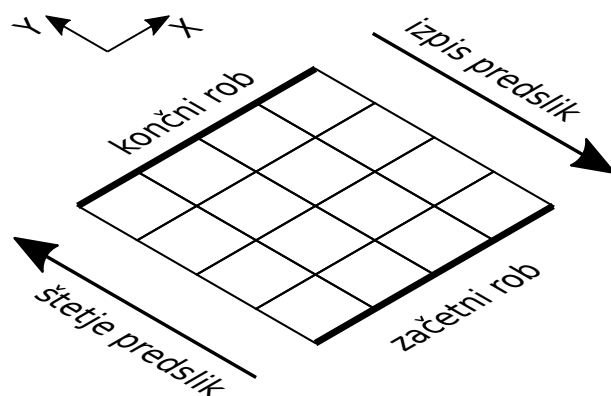
4.2 Procesiranje v drugi dimenziji

V drugi dimenziji se procesira niz vrstic. Vsaka vrstica se začne in konča z robnim pogojem, ti robni pogoji so prerezi ploskev v celotni mreži predslik. Za tem, ko so procesirane vse vrstice, je znan končni rob nabora vseh zveznih ploskev na celotni mreži predslik. Če je uporabljena Boolova algebra je znan le obstoj predslik, če pa je uporabljeno množenje in seštevanje, je na koncu znano tudi število predslik.

4.3 Izpis predslik

Ni nujno, da se vsak vrstični začetni pogoj preslika v nabor končnih pogojev. Možno je da nobena pot na končnem robu ne zadošča začetnemu pogoju in mreži predslik. Torej po prejšnjih korakih še ni točno določeno, katere ploskve se združujejo v zvezno celoto in katere ne. Možne so ploskve, ki prekrivajo polje samo do neke vrstice in ne naprej.

Procesiranje po drugi dimenziji poteka v obratni smeri kakor pri štetju, začne pri zadnji vrstici in konča pri prvi vrstici (slika 4.2). Z vsakim korakom izloča še preostale slepe poti iz mreže predslik. Hkrati je možno še izpisovati predslike. Že na začetku procesiranja v obratni smeri, je že znano število vseh predslik, kar omogoča rezervacijo pomnilnika. Končne robne poti in njihove uteži, se uporabijo za popis tekoče vrstice celic v predslikah. Z vsakim korakom v obratni smeri se popiše nova vrstica za vsako od preštetih predslik. Ko pride algoritem, spet do začetne vrstice, so vse predslike popisane. Hkrati so iz mreže predslik izločene vse slepe poti, ostanejo le še ploskve, ki tvorijo zvezne ploskve na celotnem polju celic.



Slika 4.2: Potek smeri procesiranja pri algoritmu za izpis predslik.

Algoritem tukaj ni podrobno opisan, je pa preprosta razširitev algoritma uporabljenega za 1D CA opisanega v [15]. Za podrobnosti je na voljo izvorna koda v prilogah.

4.4 Nezmožnost procesiranja z linearno zahtevnostjo

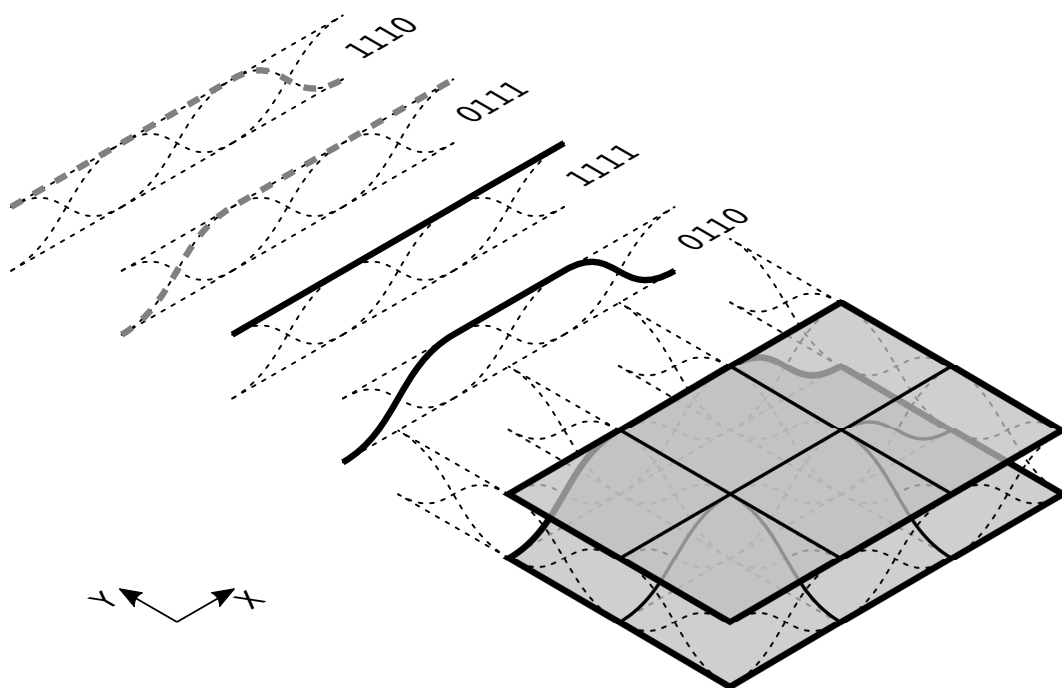
Podan je primer, ki kaže zakaj procesiranje z linearno zahtevnostjo ni mogoče.

Cilj raziskovalnega dela za to raziskovalno nalogo je bil poiskati učinkovit algoritem za iskanje predslik 2D CA. Na podlagi izkušenj z 1D CA sem optimistično pričakoval, da bo možno problem rešiti v linearnem času.

Algoritem v linearnem času, bi vsako celico obravnaval le enkrat ali na splošno bi bilo število obravnav majhna konstanta (4 krat, če se izvaja procesiranje skozi mrežo predslik v 4 smereh/prehodih). Tak algoritem predpostavlja, da je možno celoten nabor začetnih robnih pogojev upoštevati hkrati v enem samem prehodu. Po nekaj poizkusih sem ugotovil da temu ni tako. Vsaj nekatere poti iz nabora je potrebno upoštevati ločeno.

V podanem primeru (slika 4.3) se prvi dve vrstici zaključita naborom dveh končnih poti **0110** in **1111**. Če bi te dve poti uporabili, hkrati kakor začetni robni pogoj za naslednjo vrstico, bi dobili enak rezultat kakor, če bi bili del robnega pogoja še poti **0111** in **1110**. To pa zato, ker algoritem, ki poti ne obravnava ločeno ne more vedeti kje se je pot začela, da bi jo lahko tudi pravilno zaključil. Posledično linearen algoritem lahko vzame začetek ene od poti in ga na vozliču skupnem obema potema nadaljuje po drugi poti. Iz mreže je razvidno, da te dve poti nista preseka neke zvezne ploskve. Skratka hkratno obravnavanje celotnega nabora robnih pogojev ni možno, kar pomeni, da je število obravnav neke celice odvisno od števila poti in posledično od velikosti problema.

Zgoraj opisani algoritem izrecno obravnava vsak robni pogoj iz nabora ločeno. Je pa videti, da bi bilo možno hkrati obravnavati robove, ki nimajo nobenega skupnega vozlišča. Najbrž obstajajo tudi druge optimizacije algoritma, ki lahko zmanjšajo procesno kompleksnost.



Slika 4.3: Ovira za procesiranje z linearno zahtevnostjo.

Poglavje 5

Primerjava z znanimi algoritmi

Obstoječi algoritmi za predslike 2D CA se osredotočajo izključno na GoL. Največ algoritmov je namenjenih iskanju GoE stanj, skratka preverjajo le obstoj predslik, in jih ne štejejo ali izpisujejo.

5.1 Iskanje GoE

Conway je leta 1970 predstavil GoL. Že leta 1971 sta Roger Banks in Steve Ward predstavila prvo GoE stanje velikosti 9×33 celic. Odkritje je bilo objavljeno v [1]. Kasneje je Don Woods [1, 2] s pomočjo računalnika dokazal, da je stanje res GoE.

Leta 1974 je Duparc [7, 8] razvil novejši algoritem. Uporablja teorijo končnih avtomatov in regularnih jezikov, ki je v osnovi namenjen eno dimenzionalnim sistemom. Duparc ga je razširil tako, da je celice iz vrstice 2D polja združil v simbole regularnega jezika, zaporedje več vrstic pa predstavlja besedo. Originalni članek je v francoščini, tako da lahko algoritem opišem le na podlagi tega, kako ga opisujejo drugi.

V zadnjih letih podoben algoritem uporablja Steven Eker (CSL, SRI International, California, USA).

Drugačen algoritem uporablja Marijn Heule [9]. S sodelavci je zapisal vsa prekrivanja za določeno stanje kakor binarne enačbe. Te je nato dal v reševanje orodju za reševanje SAT problemov. Če rešitev ne obstaja, pomeni da je stanje GoE. Uporabljena je dodatna predpostavka, da bo rešitev zrcalno simetrična v obeh dimenzijah.

5.2 Iskanje predslik

Erlan [5] je predstavil igro pri kateri se za dano stanje GoL išče predslike. To dejansko ni implementacija algoritma za iskanje predslik, je pa vzpodbudil druge k iskanju takega algoritma.

Pri iskanju implementacij algoritma, sam našel Atabot [3] in Celični kronometer [4]. Cilj teh algoritmov sicer je iskanje predslik, ampak iskanje ni sistematično in cilj ni nabor vseh možnih predslik. Oba algoritma se poslužujeta določene heuristike pri iskanju.

<https://www.kaggle.com/c/conway-s-reverse-game-of-life>

5.3 Polni algoritmi

<https://nbickford.wordpress.com/2012/04/15/reversing-the-game-of-life-for-fun-and-p>

5.3.1 Sklepne ugotovitve

Sklepne ugotovitve naj prikažejo oceno o opravljenem delu in povzamejo težave, na katere je naletel kandidat. Kot rezultat dela lahko navede ideje, ki so nastale med delom, in bi lahko bile predmet novih raziskav.

Primerjava s sorodnimi deli bo s stališča procesne zahtevnosti algoritma in glede na to, katere znane probleme bo algoritem sposoben rešiti. Nekaj takih problemov, urejenih glede na zahtevnost, je:

1. določitev, ali obstajajo predslike za dano trenutno stanje sistema
2. štetje predslik
3. naštevanje konfiguracij predslik
4. jezik vseh stanj brez predslik
5. vprašanje reverzibilnosti sistema

Rešitev problema določitve obstoja predslik si že predstavljam. Predvidevam, da bom uspel rešiti še problem preštevanja predslik, in ker je to manjši korak, tudi njihovo naštevanje.

Preostalih problemov se tokrat ne bom loteval. Problem jezika stanj brez predslik bi potreboval teorijo 2D formalnega jezika, ki še ne obstaja. Poleg tega je povezan s problemom reverzibilnosti, ki je na splošno dokazano nerešljiv [16].

Slike

2.1	Velikost okolice.	7
3.1	Indeksiranje okolice 3×3	9
3.2	Indeksiranje okolice 2×2	9
3.3	Prekrivaje okolic 3×3 v smeri dimenzij X in Y.	10
3.4	Prekrivaje okolic 2×2 v smeri dimenzij X in Y.	10
3.5	Prekrivanje okolic 3×3 - diagonalno.	11
3.6	Prekrivanje okolic 2×2 - diagonalno.	11
3.7	Mreža ene celice.	12
3.8	Nabor ploskev.	13
3.9	Mreža polja celic.	13
4.1	Algoritem procesiranja vrstice.	15
4.2	Algoritem za izpis predslik.	16
4.3	Ovira za procesiranje z linearno zahtevnostjo.	17

Tabele

Literatura

- [1] Lifeline newsletter - volume 3. http://www.conwaylife.com/w/index.php?title=Lifeline_Volume_3, 9 1971. 18
- [2] Lifeline newsletter - volume 4. http://www.conwaylife.com/w/index.php?title=Lifeline_Volume_4, 12 1971. 18
- [3] Peter Borah. Atabot. <https://github.com/PeterBorah/atabot>, 2013. 19
- [4] Bryan Duxbury. Cellular Chronometer. https://github.com/bryanduxbury/cellular_chronometer/tree/master/rb, 9 2013. 19
- [5] Yossi Elran. Retrolife and The Pawns Neighbors. *The College Mathematics Journal*, 43(2):147–151, 2012. Dostopno na <http://www.jstor.org/stable/10.4169/college.math.j.43.2.147>. 18
- [6] Dave Greene. New Technology from the Replicator Project. <http://b3s23life.blogspot.si/2013/11/new-technology-from-replicator-project.html>, 11 2013. Dostop: 2-avg-2016. 3
- [7] Jean Hardouin-Duparc. À la recherche du paradis perdu. *Publ. Math. Univ. Bordeaux Année*, 4:51–89, 1972-1973. 18
- [8] Jean Hardouin-Duparc. Paradis terrestre dans l’automate cellulaire de Conway. *Rev. Française Automat. Informat. Recherche Operationnelle Ser. Rouge*, 8:64–71, 1974. 18
- [9] Christiaan Hartman, Marijn J. H. Heule, Kees Kwekkeboom, in Alain Noels. Symmetry in Gardens of Eden. *Electronic Journal of Combinatorics*, 20, 2013. 18
- [10] Iztok Jeras. Solving cellular automata problems with SAGE/Python. Objavljeno v Andrew Adamatzky, Ramón Alonso-Sanz, Anna T. Lawniczak, Genaro Juárez Martínez, Kenichi Morita, in Thomas Worsch, editors, *Automata 2008: Theory and Applications of Cellular Automata, Bristol, UK, June 12-14, 2008*, strani 417–424. Luniver Press, Frome, UK, 2008. Dostopno na <http://uncomp.uwe.ac.uk/free-books/automata2008reducedsize.pdf>. 3
- [11] Iztok Jeras. 2D cellular automata preimages count&list algorithm. <https://github.com/jeras/preimages-2D>, 2016. 5
- [12] Iztok Jeras. Displaying 2D CA (quad) preimage network. <https://github.com/jeras/three.js>, 2016. 5

- [13] Iztok Jeras. WebGL QUAD CA simulator. <https://github.com/jeras/webgl-quad-ca>, 2016. 5
- [14] Iztok Jeras in Andrej Dobnikar. Cellular Automata Preimages: Count and List Algorithm. Objavljeno v Vassil N. Alexandrov, G. Dick van Albada, Peter M. A. Sloot, in Jack Dongarra, editors, *Computational Science - ICCS 2006, 6th International Conference, Reading, UK, May 28-31, 2006, Proceedings, Part III*, del 3993 of *Lecture Notes in Computer Science*, strani 345–352. Springer, 2006. Dostopno na http://dx.doi.org/10.1007/11758532_47. 3
- [15] Iztok Jeras in Andrej Dobnikar. Algorithms for computing preimages of cellular automata configurations. *Physica D Nonlinear Phenomena*, 233:95–111, September 2007. 3, 4, 15, 16
- [16] Jarkko Kari. Reversibility of 2D cellular automata is undecidable. *Physica D: Nonlinear Phenomena*, 45:379–385, 1990. 19
- [17] Paulina A. Léon in Genaro J. Martínez. Describing Complex Dynamics in Life-Like Rules with de Bruijn Diagrams on Complex and Chaotic Cellular Automata. *Journal of Cellular Automata*, 11(1):91–112, 2016. 4
- [18] Paul Rendell. A Turing Machine In Conway’s Game Life. <https://www.ics.uci.edu/~welling/teaching/271fall09/Turing-Machine-Life.pdf>, 8 2001. Dostop: 2-avg-2016. 3
- [19] Chris Salzberg in Hiroki Sayama. Complex genetic evolution of artificial self-replicators in cellular automata. *Complexity*, 10:33–39, 2004. Dostopno na <http://www3.interscience.wiley.com/journal/109860047/abstract>. 3
- [20] Erik P. Verlinde. On the origin of gravity and the laws of Newton. 2010. 3
- [21] Andrew Wuensche in Mike Lesser. *The Global Dynamics of Cellular Automata*. Santa Fe Institute, 1992. Dostopno na <http://uncomp.uwe.ac.uk/wuensche/gdca.html>. 4